

我が国のエネルギーを支える鉄鋼技術 【作る】

先進石炭火力発電ボイラ・タービン用 フェライト系耐熱鋼

Ferritic Heat Resistant Steels for Boiler and Turbine of Advanced Coal-fired Power Plants

阿部富士雄 Fujio Abe

21

(独) 物質・材料研究機構 材料信頼性評価ユニット 特命研究員

1 la

はじめに

2011年3月11日の東日本大震災以降、国内原子力発電所の相次ぐ運転停止に伴って、電力供給に対する火力発電の重要性が増しているが、低炭素社会に向けてCO₂排出削減も強く求められている¹¹。火力発電では燃料の燃焼によるCO₂発生量が多い。発電効率は、石炭を燃料とする火力発電では蒸気の、天然ガスを燃料とする火力発電では燃焼ガスの温度、圧力が高いほど高くなる。発電効率が向上すると、燃料の使用量が減るのでCO₂排出量を削減できる。現状の各種発電プラント・機器の使用温度、使用時間域、および、各種材料の使用可能温度域を図1に示す。使用温度に応じて、超々臨界圧(USC:Ultra Supercritical)石炭火力発電では耐熱鋼が、天然ガス火力発電では主としてNi基合金が使用されているが、発電効率向上、CO₂排出削減に向けて高温強度に優れた材料の開発が進められている。現状のUSCの最高蒸気温度は610~620℃であるが、これは現状の耐熱鋼の使用限界温度

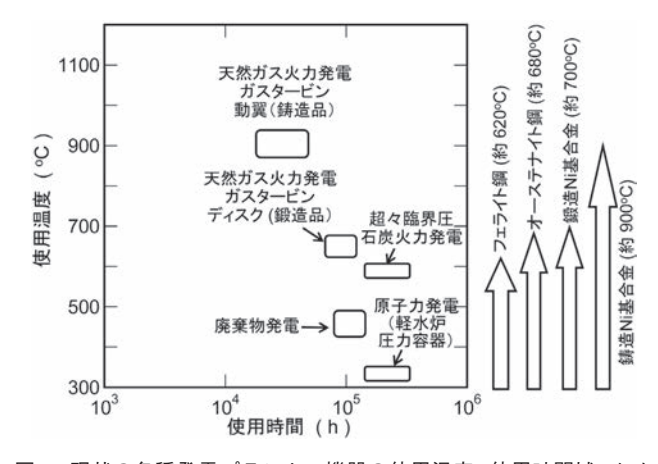


図1 現状の各種発電プラント・機器の使用温度、使用時間域、および、各種材料の使用可能温度域

である。高温で長時間使用される鉄鋼材料を一般に耐熱鋼と呼ぶ。

石炭を燃料とする火力発電には、蒸気タービンを回して発 電するUSCのほかに、石炭をガス化してガスタービンを回 して発電した上に、ガスの余熱で蒸気を加熱し蒸気タービン を回して発電する石炭ガス化複合発電 (IGCC: Integrated Coal Gasification Combined Cycle) がある。IGCCは、複合 発電方式なので発電効率が高く、現在は1500℃級プラント の実証化段階にある。図2はUSCとIGCCの送電端熱効率 を比較したもので、蒸気温度を700℃に高めた先進超々臨 界圧 (A-USC: Advanced USC) 発電と1500℃級湿式ガス精 製IGCCの効率は同等で、現状の600℃級USCに比べて効率 が4~6%程度向上する2)。石炭はコストが安い利点を有する が、今後はCO。排出削減が重視されるため、高効率なA-USC やIGCCプラントの実現が強く望まれている。蒸気温度が 600℃程度のプラントを通常USC、700℃以上をA-USCと 呼んでいる。ヨーロッパではA-USC用材料プロジェクトが 1998年から、米国では2002年から進められてきた。我が国 では、経済産業省が策定した「Cool Earth - エネルギー革新

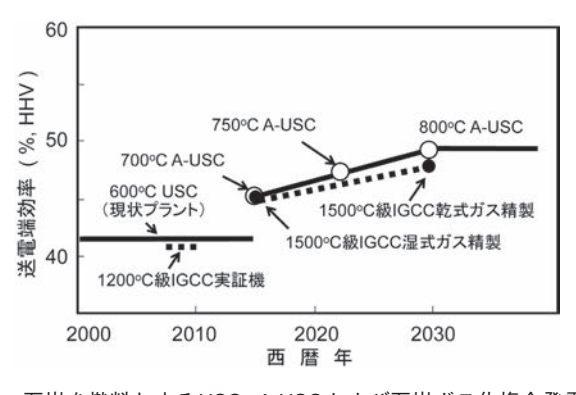


図2 石炭を燃料とするUSC、A-USCおよび石炭ガス化複合発電の 熱効率

技術計画」(2008年3月)³⁾ でA-USCは日本がリードする「21」 の技術の一つに取り上げられ、経産省補助事業「先進超々臨 界圧火力発電実用化要素技術開発 | プロジェクト (以下で は、A-USC要素技術開発プロジェクトと呼ぶ)が2008年から 9年計画で進められている4。最近、中国、インド、韓国でも A-USC プロジェクトが開始され、A-USC は石炭火力発電の分 野で世界的なテーマになっている。

以下では、A-USC用フェライト系耐熱鋼に関連した研究開 発の最近の進展を中心に述べる。

A-USCプラントの特徴と材料課題

A-USCはボイラ系とタービン系から成り、蒸気温度は 700℃と高いが基本システムは従来の石炭火力と同じであ る。従って、A-USCプラント新設に加えて、蒸気温度の低い 既設プラントの設備の大部分を再利用し、高温部材料を新た な材料に替えることでもA-USC建設が可能で、再利用は経済 性に優れる。

ボイラ系は過熱器管に代表される小径薄肉熱交換器管(ボ イラチューブ)と、過熱蒸気をタービンに輸送する主蒸気管 や管寄せといった大径厚肉鋼管 (パイプ) から成る。プラン ト温度は、通常、主蒸気管の蒸気温度を指し、これに比べて タービン入り口温度は20℃程度低く、過熱器管温度は20℃ 程度高い。従来プラントでは、ボイラチューブにはCr含有量 を高めた高強度高耐食オーステナイト系耐熱鋼が主として用 いられている。一方、大径厚肉鋼管やタービンロータのよう な厚肉の大型構造物では、内外部の温度差に起因する熱応力 によるクリープー疲労損傷を抑えるため、フェライト系耐熱 鋼が使われてきた。フェライト系耐熱鋼は、オーステナイト 系耐熱鋼やNi基合金に比べて価格が低い上に、熱膨張が小 さく熱伝導度が大きいため熱応力を低減できる利点を有す る。

蒸気温度が700℃のA-USCでは、図1に示したように 700℃で長時間使用に耐えられる耐熱鋼はないので、高強度 Ni基合金が必要となるが、Ni基合金は非常に高価である。 A-USC は高効率とともに経済性も要求されるため、高温強度 は優れるが高価なNi基合金は700℃程度の高温部のみに使用 し、安価なフェライト系耐熱鋼を650℃以下の低温部に使用 する考えになっている⁴。フェライト系耐熱鋼をどこまで高 温化できるかで、Ni基合金の使用量やA-USC材料費が決ま る。また、従来プラントとは異なり、A-USCでは高温部のNi 基合金と低温部のフェライト系耐熱鋼の間に異材溶接継手部 が入る。溶接継手部は損傷が発生し易いので、従来プラント では要注意部位となっている。

高温化と並んで重要なのが長寿命化あるいは長時間信頼性

向上である。発電プラントは、通常、10万時間クリープ破断 強度から計算される許容応力を基に設計され、数十年の長期 にわたって使用される場合が多い。10万時間クリープ破断強 度は、応力を負荷してから破断するまで10万時間を要する 応力をいう。従来プラントでは、一部の高強度フェライト系 耐熱鋼において高温使用中にクリープ強度が急速に低下し 予想外に早期破断することが指摘されて以来、長時間信頼性 の確保は重要な課題になっている。Ni基合金に関しても、こ れまで高温で数十年の長期にわたって使用した経験はない。 A-USC においては、高温化とともに長時間安全に使用できる 材料技術の確立が強く望まれている。

(3) A-USC候補材

表1に、A-USC要素技術開発プロジェクトにおける大型厚 肉部の候補材を示す4)。米国のプロジェクトでは新材料の開 発は行わず日欧の材料を使い、ヨーロッパではNi基合金の 改良が行われた程度であるのに対し、我が国ではプロジェク ト開始前既に民間企業中心に特徴ある多くの新材料が開発さ れている。Ni基合金の目標強度は、700℃で10万時間クリー プ破断強度が100MPa以上である。当プロジェクトでこれま で700℃を含む複数温度で3万時間程度のクリープ破断デー タが得られているが、クリープ強度の急速な劣化は見られて いない。Ni基合金の大型材製造技術も着々と向上している。

タービンロータ用耐熱鋼の候補材は、元々650℃級USC $(タービン入り口温度630<math>^{\circ}$) 用として開発されたが、650 $^{\circ}$ 級プラントが実現していないため、A-USCのタービンロー

表1 我が国のA-USCプロジェクトにおける大型厚肉部材の候補材 (a) ボイラ系主蒸気管、管寄せ

温度域	材料分類	材料名	化学成分(mass %)
700°C級	Ni基合金	USC141 (*)	Ni-20Cr-10Mo-1Al-2Ti
		Alloy263	Ni-20Cr-20Co-6Mo-2Ti-Al
		Alloy740	Ni-25Cr-20Co-2Nb- 2Ti
		Alloy617	Ni-22Cr-12Co-9Mo-1.2Al-Ti
		HR35 (*)	50Ni-30Cr-4W-Ti
		HR6W (*)	45Ni-23Cr-7W
< 650°C	フェライト鋼	高B-9Cr鋼(*)	9Cr-2.8W-3Co-VNbBN
		低C-9Cr鋼(*)	9Cr-2.4W-1.8Co-VNb
		SAVE12AD (*)	9Cr-2.9W-CoVNbTaNdN

(b) タービンローター

温度域	材料分類	材料名	化学成分(mass%)
700°C級	Ni基合金	LTES700 (*)	Ni-18Mo-12Cr-1.1Ti-0.9Al
		FENIX700 (*)	Fe-42Ni-16Cr-2.0Nb-1.7Ti-1.2Al
		TOS1X (*)	Ni-9Mo-23Cr-13Co-Al-Ti
< 630°C	フェライト鋼	MTR10A (*)	10Cr-0.7Mo-1.8W-3Co-VNbB
		HR1200 (*)	11Cr-2.6W-3Co-NiVNbB
		TOS110 (*)	10Cr-0.7Mo-1.8W-3Co-VNbB

(*) 日本で開発された材料

タ低温部の候補材となっている5。A-USCでは、Ni基合金と フェライト系耐熱鋼との溶接ロータ構造となっている。ボ イラ系主蒸気管、管寄せ用耐熱鋼の候補材も、既存の高強度 フェライト系耐熱鋼 (Gr.91:9Cr-1Mo-VNb鋼、Gr.92:9Cr-0.5Mo-1.8W-VNb鋼、Gr.122:11Cr-0.4Mo-2W-CuVNb鋼)を 超える650℃級USC用として開発されたが、A-USCボイラ低 温部の候補材となっている。目標強度は、650℃で10万時間 クリープ破断強度が80MPa以上である。3鋼種とも、650℃ での長時間クリープ強度向上を重視した合金設計を基に開 発された。低C-9Cr鋼 (9Cr-2.4W-1.8Co-VNb鋼) は、長時 間クリープ強度劣化要因のAlとNiを各々10ppm、100ppm のレベルまで低減し、さらにC(炭素)を従来鋼の1/2以下 に低減した²⁾。SAVE12AD (9Cr-2.9W-Co-VNbTa-Nd-N鋼) は、Gr.122鋼の発展形であるSAVE12 (12Cr-3W-3Co-VNbTa-Nd-N鋼) をさらに改良したもので、Crを12%から9%に低減 し、B (ボロン) の増量とNの低減が図られた。 粒界清浄化元 素のNdが添加されているのもこの材料の特徴である⁶⁾。高 B-9Cr鋼 (9Cr-2.8W-3Co-VNbBN鋼) は、高Bと低Nの組み 合わせで母材の長時間クリープ強度向上と溶接継手熱影響 部 (HAZ) での強度劣化の抑制が図られた^{2,7)}。低 C-9Cr鋼、 SAVE12AD、高B-9Cr鋼の3鋼種に共通する特徴として、Cr が9%で、Moをほとんど含有せず、Wが2~3%と高いためる フェライトの生成を抑制するためCoが2~3%程度添加され ている点が挙げられる。SAVE12ADと高B-9Cr鋼は、従来鋼 に比べ高B、低Nとなっている。現在、当プロジェクトに参 加している材料メーカー、プラントメーカーが中心になっ て、候補材の長時間クリープ強度、クリープー疲労特性、耐 酸化性、溶接性、加工性等の各種特性評価を進めており、そ の結果に欧米、中国、韓国が注目している。



フェライト系耐熱鋼の 長時間クリープ強度向上に向けた 最近の進展

9~12%Crの高Crフェライト系耐熱鋼の長時間におけるクリープ強度劣化機構の解明は、現有発電プラントの長時間安全運転のみならず、長時間クリープ強度に優れた耐熱鋼開発につながるので、ここ10年間以上にわたって日欧の研究者を中心に注意深くかつ積極的に取り組まれてきた。その一部は文献8)に述べられているが、劣化の抑制を中心に最近の進展を以下に述べる。

長時間におけるクリープ強度劣化機構を列挙すると、

- (a) 粒界近傍組織の優先回復
- (b) 静的回復
- (c) クリープ中の新たな析出等に伴う組織の不均一化

- (d) 不純物による組織回復の促進
- (e) 高密度転位の回復による組織回復の促進 などが提案されている。
- (a) については、長時間でクリープ強度が劣化したGr.91 鋼の旧オーステナイト粒界に沿って優先回復を観察した結 果⁹ が報告されて以来、多くの研究者の注意を引いた。優先 回復の抑制に関しては、100ppm程度のボロン添加が有効で あるが、固溶ボロンが抑制に働くので、窒素濃度に注意を要 する¹⁰⁾。9~12Cr鋼では、ボロン濃度が100ppmの場合、焼 きならし温度 (1050~1100℃) において窒素は100ppm程 度しか固溶できない110。これ以上窒素を添加すると窒化硼 素 (Boron nitride, BN) が生成し、固溶ボロン濃度は減少し クリープ強度はむしろ低下する¹²⁾。この考えを基に、表1の 高B-9Cr鋼とSAVE12ADは、ボロンが100~140ppmで窒素 は100ppmあるいはそれ以下となっている。ボロンの効果と しては、旧オーステナイト粒界およびその近傍でM₂₂C₆炭化 物のクリープ中の凝集粗大化が抑制されるため、長時間ま で微細なラスマルテンサイト組織が維持され、長時間クリー プ強度が向上すると考えられている¹⁰⁾。これに対し、Gr.91、 Gr.92、Gr.122鋼には0.05%程度の窒素が添加され、V、Nb主 体のMX炭窒化物による析出強化が施されているが、これに 高濃度のボロンを添加する場合は注意を要する。
- (b) については、高Crフェライト系耐熱鋼の焼戻マルテン サイトラス組織のクリープ中の回復は、クリープ変形によっ てひずみに比例して進行するひずみ誘起回復と、時効によっ て時間とともに進行する静的回復によるが、低応力長時間試 験で静的回復が顕著であるとクリープ強度劣化をもたらす というメカニズムが示された^{13,14)}。これを模式的に示したの が図3 (a) である。長時間域 (Region L) での破断時間の過 大評価の程度 t_H/t_L は破断時間の活性化エネルギーの差 (Q_H $-Q_L$) に比例する。 $t_H \geq t_L$ および $Q_H \geq Q_L$ はそれぞれ短時間 域 (Region H) と長時間域での破断時間および活性化エネル ギーである。 $(Q_H - Q_I)$ をCr濃度の関数として示したのが図 3 (b) で、 Q_H と Q_L の差はCr濃度が8%程度から現れ、12%程 度までCr濃度の増加とともに増大する。この結果は、Cr濃 度が低いほど長時間クリープ強度劣化は少なく、12Cr鋼よ り9Cr鋼の方が長時間安定性に優れることを示している。組 織観察により、静的回復はラス境界上のM23C6炭化物が凝集 粗大化し始めるとM₂₂C₆による境界のピンニング力が低下す るため進行すること、12Cr鋼より9Cr鋼の方がMaCo炭化物 の凝集粗大化が遅いこと等が示された。長時間クリープ強度 を重視している表1の高B-9Cr鋼、低C-9Cr鋼、SAVE12AD の3鋼種とも9Cr鋼なのは合理的である。

Cr濃度が低いほど長時間クリープ強度に優れことは、Cr 濃度を8.5%から11.5%まで系統的に変えた(8.5-11.5) Cr3.5W-3Co-VNbB鋼の長時間試験でも示されている 15 。その結果を図4に示す。低応力条件ではCr濃度が最も低い8.5%で破断時間が最長となる。供試鋼はg-ビンローgを想定して低温で二段焼戻(g-20h、g-20h、g-20h)が施されているため、焼戻中にg-20h、g-20h、g-20h)が施されているため、焼戻中にg-20h、g-20h、g-20h)が施されているため、焼戻中にg-20h、g-20h、g-20h)が施されている。g-20h、g-20h、g-20h、g-20h が析出しその析出量は高g-20h が規制とg-20h がががあると報告されている。g-20h では微細なg-20h が顕著であると報告されている。g-20h では微細なg-20h が顕著であると報告されている。g-20h で長時間までg-20h で長時間までg-20h で長時間までg-20h で長時間までg-20h で長時間までg-20h で大阪に近い。ボイラ用鋼ではg-20h ではg-20h で長時間までg-20h で大阪に近い。ボイラーにg-20h では通常析出しない。g-ビンブレード用g-20h ではg-20h では

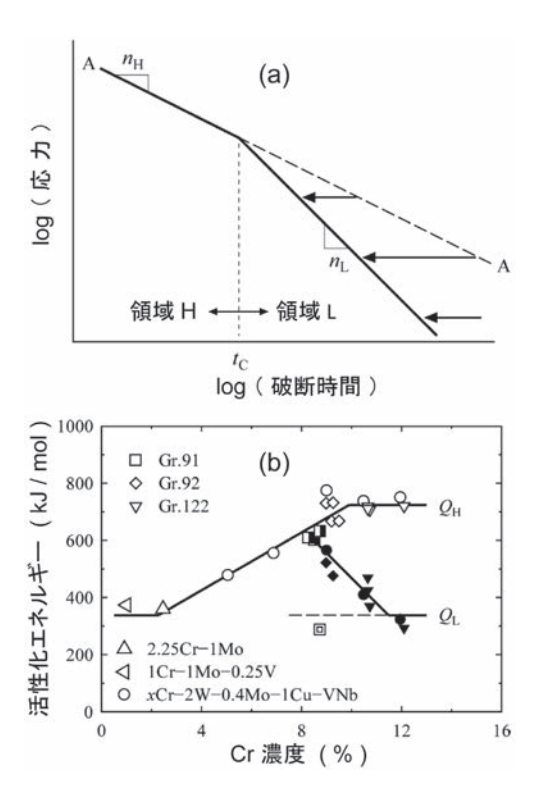


図3 (a) 長時間の領域Lにおける早期破断とそれに伴う応力指数n の変化の模式図、(b) 破断時間の活性化エネルギーの Cr 濃度依 存性

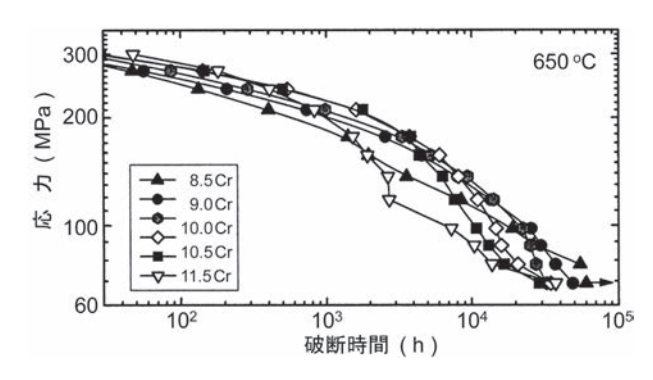


図4 8.5~11.5Cr鋼の650°Cにおけるクリープ破断データ

1W-0.3V鋼のクリープ寿命のヒート間差の検討においても、9ヒート間の寿命差は初期強度(熱処理後の転位密度)、有効窒素濃度(=N-sol Al-Ti (at%))、Cr濃度に依存すること、9ヒート間でCr濃度は11.0%から12.9%まで異なるが初期強度および有効窒素濃度が同一ならCr濃度が低いほどクリープ寿命は長くなる¹⁶。

(c) については、長時間経過後に析出するZ相と呼ばれる Cr、Nb、Vの粗大な複合窒化物が長時間クリープ強度劣化 に及ぼす影響に関心が高いが、図5に示すようにCr濃度が 低いほどZ相の析出は長時間側にシフトする¹⁷⁾。Z相の析出 に伴って析出強化相であるV、Nbの微細なMX炭窒化物が 再固溶して消失するので、Z相の析出は長時間クリープ強度 劣化の一因に挙げられている。図5の結果は、Cr濃度が低い ほどクリープ強度が劣化し難いことを示唆する。Danielson とHaldは、Themo-calを用いてZ相析出の駆動力に及ぼす 合金元素の効果を評価し、CrやNの濃度が高くなるにつれ 駆動力は大きくなるが、CやV (>0.08%) は逆に濃度が高く なるにつれ駆動力は小さくなると報告している¹⁸⁾。表1の高 B-9Cr鋼、低C-9Cr鋼、SAVE12ADの3鋼種とも9Cr鋼なので Z相析出の駆動力は小さく、また、高B-9Cr鋼とSAVE12AD は窒素濃度が低いので駆動力はさらに小さく、Z相が生成し 難い成分になっている。

(d) については、AIはクリープ中にAINを形成するとNの強化作用(固溶強化および微細窒化物による析出強化)を低減させるので長時間クリープ強度を劣化させることが知られている¹⁶⁾。このため、最近のフェライト系耐熱鋼製造においては、出来るだけAIを低減するよう注意が払われている。AIと同様に注意を要する元素がNiである。図6にGr.91鋼のクリープ破断データに及ぼす微量Niの影響を結果を示す¹⁹⁾。600℃では3万時間以上の長時間域でNiの効果が現れ、

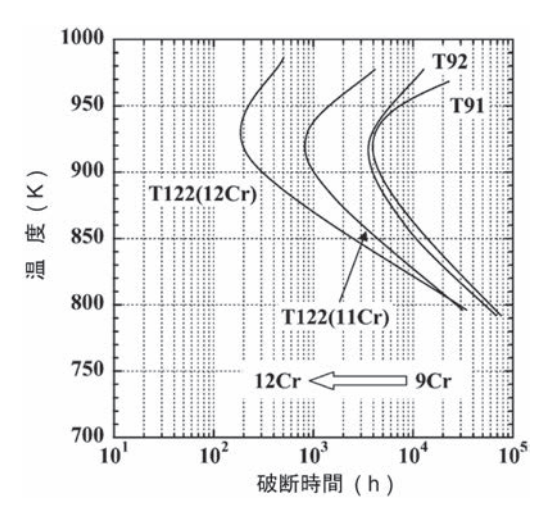


図5 9~12Cr鋼におけるZ相の時間-温度-析出線図

0.2%Ni以上で劣化が顕著である。Niはフェライト系耐熱鋼に対して、A1変態温度を下げる、クリープ中の炭窒化物の凝集粗大化を加速する、延性を向上させるなど種々の影響を及ぼす。NiはまたZ相析出を促進する²⁰⁾。表1の低C-9Cr鋼は、Al、Niの低減化を重視した合金設計がベースになっている。

(e) については、ボイラ用鋼では焼戻温度を出来るだけ高くして、熱処理後に残留する転位密度を下げている。タービン用鋼では、室温、中温での引張強度も重視されるので、ボイラ用鋼に比べて炭素濃度が高く、焼戻温度を低くして転位密度を高くしている。従って、タービン用鋼ではボイラ用鋼に比べてクリープ中の転位回復の駆動力が大きいので、長時間組織安定性に十分留意する必要がある。

5

溶接継手のクリープ強度劣化の 抑制に向けた最近の進展

従来鋼のGr.91、Gr.92、Gr.122鋼は母材のクリープ強度は高いが、溶接継手では熱影響部(HAZ: heat-affected-zone)の母材側で脆性的に破断する、いわゆるType IV (タイプ4)破壊による寿命低下が600℃より高温で顕著となり、母材の1/10に低下する場合もある²¹⁾。Type IV破壊の機構としては、クリープ強度の低い熱影響部がクリープ強度の高い母材部や溶接金属部から機械的拘束を受けるため、熱影響部では応力多軸度が大きくなりクリープボイド損傷が発達しやすいと考えられている²²⁾。ボロン添加により9Cr鋼のType IV破壊を抑制できることが示されて以来²³⁾、従来鋼溶接継手の熱影響部のクリープ強度が母材部と比較して低い原因、ボロン添加によるType IV破壊の抑制機構の解明に関して最近進展が見られている。

熱影響部のクリープ強度が低下する原因については、溶接 熱サイクルの影響で熱影響部が細粒化しクリープ強度の低い 粒界部の体積率が増すためと長い間考えられてきた。Gr.92 鋼の熱影響部組織を図7に示すが、母材部と比較して粒界へ のM₂₂C₆析出量は非常に少なく、粒界析出強化が非常に低下 していることを示唆している²⁴⁾。Gr.92鋼の溶接前の熱処理 は焼きならし-焼戻であるが、焼きならし後に残留するわず かな量のオーステナイトをサブゼロ処理によってマルテンサ イトに変態させ、焼戻を省略すると、熱影響部は細粒である が粒界に十分なM₂C₆が析出した組織となり、クリープ強度 は低下しない24,25)。従って、熱影響部のクリープ強度が低下 するのは、粒界へのM₂C₆析出量が少ないため粒界析出強化 が低下することが主因であること、細粒化は主因ではないこ と、従来鋼でも熱処理を工夫すればType IV破壊を抑制でき ることが最近示された^{24,25)}。低窒素濃度 (<100ppm) でボロ ンを40~180ppm添加した9Cr鋼では、通常の焼きならし-焼戻の熱処理でも、溶接熱サイクル中の α / γ 相変態挙動が 変化し、熱影響部も粗粒となり粒界には十分なMacCaが析出 し母材部とほぼ同じ組織となるため、Type IV破壊を抑制で きることが示されている^{10,25)}。

高B-低Nの高B-9Cr鋼 (表1)と同等組成のMARBN鋼 (MARtensitic 9Cr steel strengthened by Boron and MX Nitrides; 120-150ppm B、60-90ppm N)は、650℃において母材の長時間クリープ強度がGr.92に比べて高い上に、溶接継手の強度劣化が非常に小さい²⁶⁾。MARBN鋼とNi基のボイラ候補合金Alloy 617、Alloy 263との異材溶接継手においても、650℃におけるクリープ破断データを図8に示すが、Gr.92鋼に比べて溶接継手の強度劣化が非常に小さい²⁷⁾。図でMARBN10とMARBN12とでは窒素濃度が異なり、それぞれ30および72ppmである。溶接継手においても、母材と同様に固溶ボロンが特性向上に関わるので、BNの生成を抑えるために窒素濃度を100ppm程度あるいはそれ以下に制御することが必要である。表1のSAVE12ADも窒素濃度を低くし

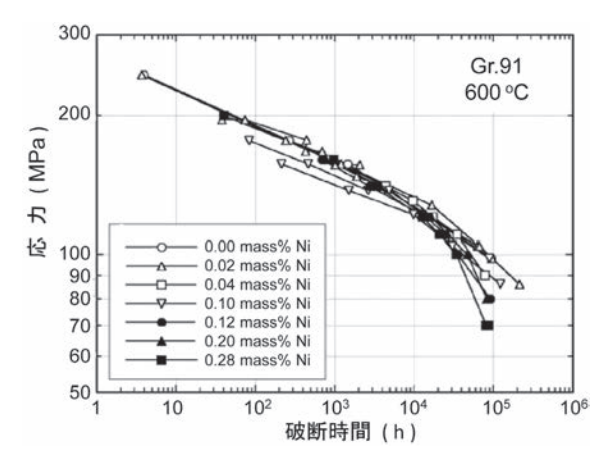


図6 Gr.91鋼の600℃におけるクリープ断強度に及ぼすNiの影響

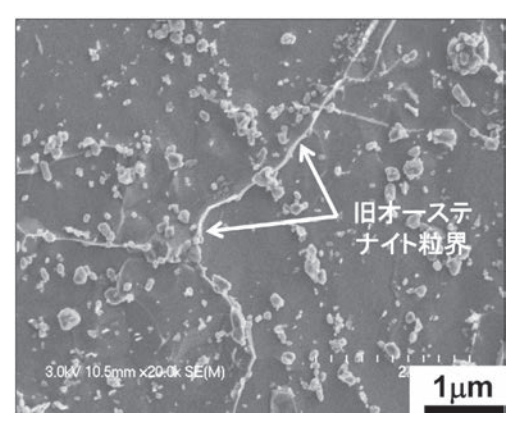


図7 A_{C3}-HAZ再現熱処理 (ピーク温度 950℃) 後の Gr.92 鋼の微細組 ^繰

てボロンが添加されているので、高B-9Cr鋼と同様にType IV破壊抑制が期待されている。

6)

耐酸化性向上に向けた最近の進展

フェライト系耐熱鋼はCr濃度が12%以下と低いため、オーステナイトステンレス鋼に比べ酸化スケールの成長速度が大きい $^{28)}$ 。600^{\circ}C以上の水蒸気中では、通常、 $9\sim12$ Cr鋼の材料表面に Fe_3O_4 主体の外層とFe-Crのスピネル酸化物主体の内層から成る厚い2層スケールが生じる。また、約4万時間稼働後の600^{\circ}C級USCプラントにおいて、T91鋼製再熱蒸気管の内面でスケールのクラック、内外層界面での遊離、はく離が観察されるなど、従来鋼ではスケール密着性も問題になっている $^{29)}$ 。

Cr濃度を9%から12%に高くすると耐酸化性は向上するが、第4節で述べたように、クリープ強度は低下する。現状の合金設計はクリープ強度を優先させているため、表1のボイラ用鋼候補材は9%Crとなっている。Cr以外による耐酸化性向上については、Gr.91鋼では10ppm硫黄(S)材に比べて40ppm S材の方がスケールの成長速度は小さいことや³⁰⁾、Gr.92鋼ではSiは0.50%以下に規定されているが、Si濃度が高いほどスケールの成長速度は小さいことが報告されているが。これら微量元素の効果だけでは十分な耐酸化性向上は得られていない。

9Cr鋼にPd を 3%程度添加すると、厚さ $0.1\mu m$ 以下の非常に薄い Cr_2O_3 の保護皮膜が生成し耐酸化性が著しく向上すること、従って、9Cr鋼でも Cr_2O_3 の生成が可能であることが見出されて以来 322、 Cr_2O_3 生成による耐酸化性向上に関して進展が見られている。 700° の Ar 中で 50h 予備酸化すると9Cr 鋼表面に非常に薄い Cr_2O_3 が生成し、その後水蒸気中で保護皮膜として作用するため、耐酸化性が著しく向上するこ

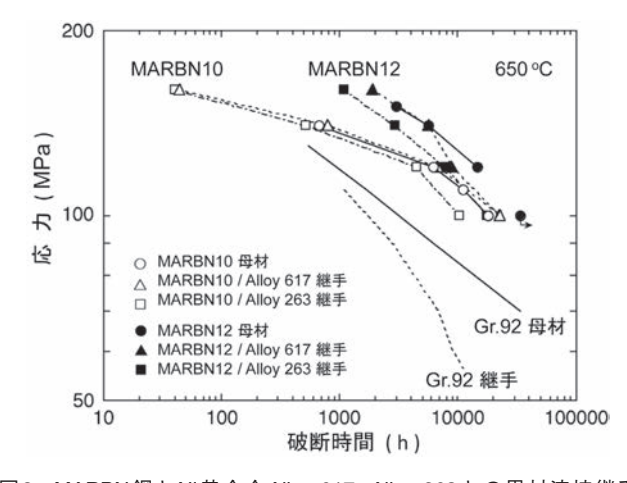


図8 MARBN鋼とNi基合金Alloy 617、Alloy 263との異材溶接継手 の650℃におけるクリープ破断データ

とが前述のMARBN鋼と類似の9Cr鋼で示された 33,34 。予備酸化中に生成する 34 Cr $_{2}$ O $_{3}$ 皮膜は非常に薄いため、耐はく離性にも優れている。この他、 35 Cr $_{2}$ Or $_{3}$ Dに大気中で予備酸化するか 35 Cr $_{3}$ Cr $_{4}$ Cr $_{5}$ C

7

海外における研究開発状況

ヨーロッパにおけるUSC用フェライト系耐熱鋼の開発は、 COST (Co-operation in the field of Science and Technology) プロジェクトと称する国レベルの共同研究形式で進められ てきた。ヨーロッパでも高強度化のためCoやBの添加が図 られたが、日本と異なり強化元素としてWより Moを重視し ている。620℃級タービンロータ用として開発されたFB2鋼 (9.4Cr-1.5Mo-1Co-V-Nb-N-B鋼) およびFB2鋼のNbをTaに 置換しさらにB/Nを調整した材料370は、COSTプロジェク ト開発鋼の中でも強度レベルが高く、ヨーロッパでは有望 視されている。英国では、最近、第5節で述べたMARBN鋼 からスタートして、MARBN鋼を超える材料開発を狙った IMPACT (Innovative Materials, Design and Monitoring of Power Plant to Accommodate Carbon Capture) プロジェク トが2010年から4年計画で進められている³⁸⁾。ボロンの挙動 解明と成分最適化によるクリープ強度向上が主たる課題で ある。ドイツでは、MARBN鋼と同じ合金設計の考えで、ボ ロン添加による溶接継手のType IV破壊抑制の研究が進めら れている³⁹⁾。中国では、我が国のA-USCプロジェクトとほぼ 同じ内容の700℃級A-USCプロジェクトが2012年にスター トした。CISRI (Central Iron and Steel Research Institute) とBaoスチールが共同で開発したG115鋼 (9Cr-3W-3Co-1Cu-VNbBN鋼) が650℃以下の低温部の候補材になっている⁴⁰⁾。 G115鋼はMARBN鋼の成分にGr.122鋼の1%Cuを加えた合 金設計の考えで開発された。A-USC用フェライト系耐熱鋼の 研究開発では、最近、従来鋼より高濃度のボロンを添加した 9Cr鋼でどこまで特性向上を達成できるかに注目した取り組 みが多い。

(8)

おわりに

A-USC要素技術開発プロジェクトに関連したフェライト系耐熱鋼の最近の進展を中心に述べたが、このプロジェクト以外でもA-USCを対象とした革新的材料の研究開発が我が国で展開されている。Ni基合金では、タービンディスクを対象として、高温強度ー相安定性ー材料加工性を重視したNi-Co基のTMW合金がGuらによって開発された⁴¹⁾。この合金は(Ni, Co)₃(Al, Ti)-γ'による析出強化が施され、従来

合金U720Liに比べて700℃付近の0.2%降伏応力やクリープ強度が優れている。オーステナイト鋼では、金属間化合物による析出強化を重視した炭素、窒素無添加20Cr-30Ni-2Nb鋼が竹山らによって提案されている 42 。700℃でのクリープ中に、粒界にFe₂Nb Laves相が、粒内に ε 相と呼ばれるNi₃Nbがウィドマンステッテン状に析出し、さらに0.03%のボロン添加によってFe₂Nb Laves相による粒界被覆率が高められ、炭窒化物強化型のステンレス鋼SUS347HTB (18Cr-12Ni-Nb鋼)を凌ぐクリープ破断強度が得られている。

長時間信頼性向上の面では、NEDOの「鉄鋼材料の革新的 高強度・高機能化基盤研究開発プロジェクト」(平成18~23 年度)において、これまでにない寿命予測精度 "factor of 1.2" を満足する手法として、従来型の硬さモデルに加え、斬新な 陽電子消滅モデル、組織自由エネルギーモデル、ラス幅・転 位密度モデル、局所ひずみモデル、水素放出モデル、Ni基合 金組織変化モデル、クリープ破断データの領域区分法モデ ル、改良Ω法モデル、最小クリープ速度到達時間モデル等が 提案されている ⁴³。これらの手法は、現在、A-USC候補材の 損傷評価や寿命予測に応用されている。以上とは別に、ク リープ破断データの領域分割法 ⁴⁴ も高精度寿命予測法とし て今後の応用拡大が注目されている。

以上のように、耐熱鋼、耐熱合金の高温化・高強度化および長時間信頼性向上の両面において、我が国はここ10年で欧米を大きく凌ぎ、「石炭火力700℃の壁」を越えつつある。

謝辞

MARBN鋼は、平成9年度から物材機構で実施した超鉄鋼プロジェクトで新たな合金設計の芽が生まれ、民間企業のご支援を受けて開発された。関与された多くの方々に深く感謝します。

参考文献

- 1)阿部冨士雄:環境管理,44 (2008) 11,986.
- 岩崎淳,椎橋啓,高野伸一,佐藤恭,岡田浩一,阿部富士雄:火力原子力発電,58(2007)8,649.
- 3) 小林正孝:環境管理, 44 (2008) 6, 498.
- 4)福田雅文,大熊善明,高橋武雄,北村雅樹,齋藤英治,高野哲,竹井康裕,田中良典:火力原子力発電,62 (2011) 10,731.
- 5) 藤川立誠, 福田雅文, 齋藤英治, 高橋武雄, 和泉栄: 火力原子力発電, 58 (2007) 8, 656.
- 6) 14) K.-H.Czychon, K.Metzger, E.Roos and K.Maile: Proc. of 34th MPA-Seminar, Stuttgart, Germany, 7-9 October (2008) 48, 1.
- 7)阿部冨士雄:ふぇらむ, 17 (2012) 8,560.

- 8) 阿部冨士雄:ふぇらむ, 11 (2006) 4, 197.
- 9) 九島秀昭, 木村一弘, 阿部冨士雄: 鉄と鋼, 85 (1999) 11, 841.
- 10) F.Abe, M.Tabuchi and S.Tsukamoto: Energy Materials, 4 (2012) 166.
- 11) 櫻谷和之, 岡田浩一, 阿部冨士雄: 鉄と鋼, 90 (2004) 10, 819.
- 12) H.Semba and F.Abe: Energy Materials, 1 (2006) 4, 238.
- 13) K.Maruyama, H.Ghassemi Armaki, R.P.Chen, K.Yoshimi, M.Yoshizawa and M.Igarashi: Intern. J. Pressure Vessels & Piping, 87 (2010) 276.
- 14) R.P.Chen, H.Ghassemi Armaki, 吉見享祐, 丸山公一, 南雄介, 五十嵐正晃: 鉄と鋼, 96 (2010) 9, 564.
- 15) 水戸祐介, 三木一宏, 東司, 田村理, 石黒徹, 村田純教, 森永正彦: 耐熱金属材料123委員会研究報告, 54 (2013) 2, 111.
- F.Abe: Intern. J. Pressure Vessels & Piping, 87 (2010)
 310.
- 17) K.Sawada, H.Kushima, K.Kimura and M.Tabuchi : ISIJ Int., 47 (2007) 5, 733.
- 18) H.Danielson and J.Hald: Proc. of 4th EPRI Intern. Conf. on Advances in Mater. Technol. for Fossil Power Plants, October 25-28, 2004, Hilton Head, North Carolina, USA, (2004), 99.
- 19) K.Kimura and Y.Takahashi: Proc. of ASME 2012 Pressure Vessels & Piping Conference (PVP2012), July 15-19, 2012, Toronto, Canada, (2012), PVP2012-78323.
- 20) V.Vodarek and A.Strang: Scr. Mater., 38 (1998) 101.
- 21) J.A.Francis, W.Mazur and H.K.D.H.Bhadeshia: Mater. Sci. Technol., 22 (2006) 12, 1387.
- 22) F.Abe and M.Tabuchi: Materials Science and Technology of Welding and Joining, 9 (2004) 1, 22.
- 23) 田淵正明, 近藤雅之, 本郷宏通, 渡部隆, 殷福星, 阿部富士雄: 材料, 54 (2005) 2, 162.
- 24) Y.Liu, S.Tsukamoto, T.Shirane and F.Abe: Metall. Mater. Trans. A, (2013) DOI: 10.1007/s11661-013-1801-0
- 25) F.Abe, M.Tabuchi and S.Tsukamoto: Materials at High Temperatures, 28 (2011) 2, 85.
- 26) F.Abe: Proc. of 38th MPA-Seminar, October 1-2, 2012, Stuttgart, Germany, (2012), CD-ROM.
- 27) M.Tabuchi, H.Hongo and F.Abe: Proc. of ASME 2013 Pressure Vessels & Piping Conference (PVP2013), July 14-18, 2013, Paris, France, (2013), PVP2013-97659.
- 28) 中川精和:溶接学会誌, 70 (2001) 8,762.

- 29) N.Nishimura, N.Komai, Y.Hirayama and F.Masuyama: Materials at High Temperatures, 22 (2005) 1, 3.
- 30) 九津見啓之,板垣孟彦,阿部冨士雄:鉄と鋼,88 (2002)9,520.
- 31) T.Sato, Y.Fukuda, K.Mitsuhata and K.Sakai: as in 18),
- 32) T.Itagaki, H.Kutsumi, H.Haruyama, M.Igarashi and F.Abe: Corrosion, 61 (2005) 4, 307.
- 33) H.Kutsumi, T.Itagaki and F.Abe: Proc. 7th Liege Conference on Mater. for Advanced Power Engineering, September 2002, Liege, Belgium, (2002), 1629.
- 34) H.Okubo, S.Muneki, T.Hara, H.Kutsumi and F.Abe: Proc. 34th MPA-Seminar on Materials and Components Behaviour in Energy & Plant Technology, October 9 and 10, 2008, Stuttgart, Germany, (2008), CD-ROM.
- 35) H.Haruyama, H.Kutsumi, S.Kuroda and F.Abe: as in 18), 412.
- 36) T.Sundararajan, S.Kuroda, T.Itagaki and F.Abe: ISIJ Int., 43 (2003) 1, 95.
- 37) T-U.Kern, K.H.Mayer, B.Donth, G.Zeiler and A.DiGianfrancesco: Proc. of 9th Liege Conference on Materials for Advanced Power Engineering 2010, Forschungszentrum, Jülich, (2010), 29.

- 38) P.Barnard, P.Moody, R.Maclachlan, D.Allen, S.Roberts, H.Du and R.Thomson: Proc. of 5th Symposium on Heat Resistant Steels and Alloys for High Efficiency USC/A-USC Power Plants 2013, May 26-29, 2013, Seoul, Korea, (2013), CD-ROM.
- 39) P.Mayr, F.M.Martin, M.Albu and H.Cerjak: Proc. of 2nd ECCC Creep Conference, April 21-23, 2009, Zurich, Switzerland, (2009), 1029.
- 40) Z.Liu, P.Yan, H.Bao, S.Xu and Q.Wang: as in 39), CD-ROM.
- 41) Y.Gu, H.Harada, C.Cui, D.Ping, A.Sato and J.Fujioka: Scr. Mat., 55 (2006) 815.
- 42) I.Tarigan, N.Takata and M.Takeyama: Proc. of 12th Intern. Conf. on Creep and Fracture of Engineering Materials and Structures, May 27-31, 2012, Kyoto, Japan, The Japan Institute of Metals, (2012) B16, CD-ROM.
- 43) 鉄鋼材料の革新的高強度・高機能化基盤研究開発プロジェクト,第2回シンポジウム講演予稿集,2012年1月12日~13日,日本科学未来館,(2012),55.
- 44) 木村一弘, 九島秀昭, 阿部冨士雄: 材料, 52 (2003) 1,57.

(2013年8月28日受付)